

关于求解无粘性 Burgers 方程 Riemann 问题多种数值格式的比较

孙泽轩

信息与计算科学专业

2016301000038

1 Burgers 方程的 Riemann 问题

Burgers 方程的 Riemann 问题具体如下：

$$\begin{cases} u_t + (\frac{u^2}{2})_x = 0, \\ u(x, 0) = \begin{cases} u_l & x < 0, \\ u_r & x \geq 0. \end{cases} \end{cases} \quad (1)$$

我们知道方程 1 的精确解为

$$u(x, t) = \begin{cases} u_l & x < st, \\ u_r & x > st. \end{cases} \quad (2)$$

其中 $s = (u_l + u_r)/2$.

2 不同的格式

2.1 Lax-Friedrichs 格式

Lax-Friedrichs 方法对于非线性的系统具有如下格式

$$u_j^{n+1} = \frac{1}{2}(u_{j-1}^n + u_{j+1}^n) - \frac{\Delta t}{2\Delta x}[f(u_{j+1}^n) - f(u_{j-1}^n)]. \quad (3)$$

对于 Burgers 方程我们就有如下格式：

$$u_j^{n+1} = \frac{1}{2}(u_{j-1}^n + u_{j+1}^n) - \frac{\Delta t}{2\Delta x}[\frac{1}{2}(u_{j+1}^n)^2 - \frac{1}{2}(u_{j-1}^n)^2]. \quad (4)$$

2.2 Lax-Wendroff 格式

对于非线性守恒方程，Lax-Wendroff 格式具有如下格式：

$$u_j^{n+1} = u_j^n - \frac{\Delta t}{2\Delta x}(f(u_{j+1}^n) - f(u_{j-1}^n)) + \frac{\Delta t^2}{2\Delta x^2} [A_{j+\frac{1}{2}}(f(u_{j+1}^n) - f(u_j^n)) - A_{j-\frac{1}{2}}(f(u_j^n) - f(u_{j-1}^n))] \quad (5)$$

特别地，对于 Burgers 方程具有如下格式：

$$u_j^{n+1} = u_j^n - \frac{\Delta t}{2\Delta x} \left(\frac{1}{2}u_{j+1}^n - \frac{1}{2}(u_{j-1}^n)^2 \right) + \frac{\Delta t^2}{2\Delta x^2} \left[\left(\frac{1}{2}(u_{j+1}^n + u_j^n) \right) \left(\frac{1}{2}(u_{j+1}^n)^2 - \frac{1}{2}(u_j^n)^2 \right) - \left(\frac{1}{2}(u_j^n + u_{j-1}^n) \right) \left(\frac{1}{2}(u_j^n)^2 - \frac{1}{2}(u_{j-1}^n)^2 \right) \right]. \quad (6)$$

2.3 Godunov 格式

对于无粘性的 Burgers 方程，Godunov 格式具有如下简单的守恒律形式：

$$u_j^{n+1} = u_j^n - \frac{\Delta t}{\Delta x} [F(u_j^n, u_{j+1}^n) - F(u_{j-1}^n, u_j^n)], \quad (7)$$

其中通量 F 的定义为 $F(u, v) = (u^*)^2/2$ ，其中 u^* 的定义如下：

当 $u \geq v$ 时

$$u^* = \begin{cases} u, & \frac{u+v}{2} > 0, \\ v, & \frac{u+v}{2} \leq 0. \end{cases}$$

当 $u < v$ 时

$$u^* = \begin{cases} u, & u > 0, \\ v, & v < 0, \\ 0, & u \leq 0 \leq v. \end{cases}$$

2.4 Beam-Warming 格式

对于一般的控制方程

$$\frac{\partial u}{\partial t} + \frac{\partial f(u)}{\partial x} = 0, \quad (8)$$

令

$$a(u) = \frac{\partial f(u)}{\partial u}, \quad (9)$$

$$\Delta t / \Delta x = \lambda, \quad (10)$$

则 Beam-Warming 格式如下:

对于 $a(u^n) > 0$

$$u_i^{n+1} = u_i^n - \frac{\lambda}{2} ((3f(u_i^n) - 4f(u_{i-1}^n) + f(u_{i-2}^n)) + \frac{\lambda^2}{2} [a(u_{i-1/2}^n) ((f(u_i^n) - f(u_{i-1}^n)) - a(u_{i-3/2}^n) (f(u_{i-1}^n) - f(u_{i-2}^n))] , \quad (11)$$

对于 $a(u^n) < 0$

$$u_i^{n+1} = u_i^n + \frac{\lambda}{2} ((3f(u_i^n) - 4f(u_{i+1}^n) + f(u_{i+2}^n)) + \frac{\lambda^2}{2} [a(u_{i+3/2}^n) ((f(u_{i+2}^n) - f(u_{i+1}^n)) - a(u_{i+1/2}^n) (f(u_{i+1}^n) - f(u_i^n))] . \quad (12)$$

对于 Burgers 方程, 令

$$f(u) = \frac{u^2}{2}, \quad (13)$$

即得到其 Beam-Warming 格式。

3 数值实验

为了更好的比较这四种格式的优劣, 对特定初值的 Burgers 方程应用上述格式, 比较结果。所有格式解的问题为方程 1, 初始条件 $ul = 2, ur = 1$ 。选取时间步长 dt 为 0.01, 空间步长 dx 为 0.04, 实验区间为 $[-2, 2]$ 。

首先画出四种格式在终止时刻为 0.2 秒时的结果与精确解的比较图, 结果如图 1。可以看到四种格式在图上看都有不错的结果, 在正确的间断处 $x = 0.3$ 附近都形成了间断。但是 Lax-Wendroff 和 Beam-Warming 格式都产生了较为明显的不在精确解的曲线上的数值解的点。

为了更好地比较四种格式的误差, 画出四种格式的误差图, 结果如图 2。从四种各种误差图的峰值可以看出 Lax-Wendroff 的效果最优, Godunov 和 Beam-Warming 效果差不多, Lax-Friedrichs 的效果最差。

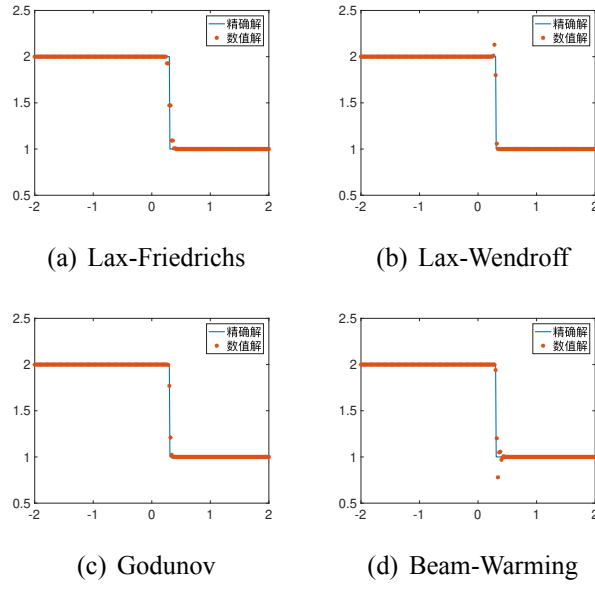


图 1: $t = 0.2s$ 时, 四种格式结果与精确解的比较图

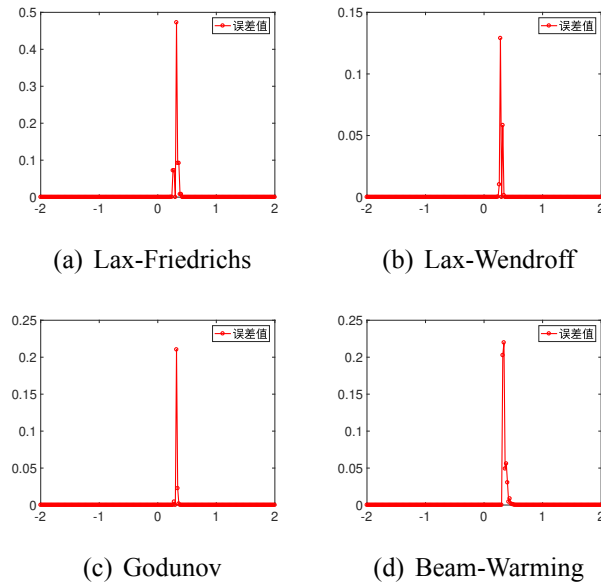


图 2: $t = 0.2s$ 时, 四种格式的绝对误差图

为了更进一步的比较四种格式的数值结果，给出数值解误差的具体参数如下表：

表 1: $t = 0.2s$ 时, 四种格式数值解误差的具体参数

格式	最大误差所在坐标	最大误差值	平均绝对误差
Lax-Friedrichs	0.32	0.4726	0.0041
Lax-Wendroff	0.28	0.129	9.93×10^{-4}
Godunov	0.32	0.2103	0.0012
Beam-Warming	0.34	0.2198	0.0029

从表中可以看出 Lax-Wendroff 的平均绝对误差最小，最大误差值最小，效果最优；Godunov 的平均绝对误差和最大误差值较 Beam-Warming 更小，所以更优；Lax-Friedrichs 的平均绝对误差和最大误差值均为最大，效果最差。可以发现四种格式最大误差所在坐标的最大值都在 $x = 0.3$ 附近，这是为了形成精确地间断造成的，说明四种格式都较好的逼近了精确解的间断处。

接下来探究 t 较大时各种格式的数值效果，选 $t = 5s$ ，实验区间为 $[-2, 17]$ ，此时精确解间断处为 $x = 7.5$ 。四种格式数值解和精确解的比较图如下：

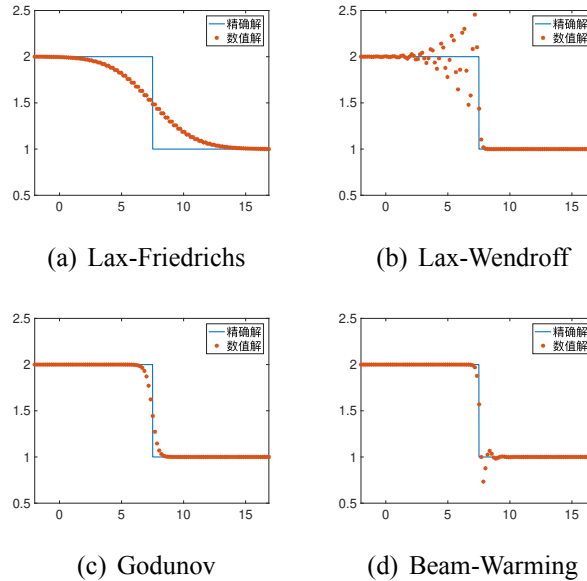


图 3: $t = 5s$ 时, 四种格式结果与精确解的比较图

可以看到 Lax-Friedrichs 和 Lax-Wendroff 已不能很好的在图像上拟合精确解，但 Godunov 和 Beam-Warming 在图上看还数值解的结果还比较精确。最后给出四种格式在 $t = 5s$ 时的误差各参数如下表：

表 2: $t = 5s$ 时, 四种格式数值解误差的具体参数

格式	最大误差所在坐标	最大误差值	平均绝对误差
Lax-Friedrichs	7.52	0.4849	0.1181
Lax-Wendroff	6.67	0.5205	0.0469
Godunov	7.52	0.4437	0.0166
Beam-Warming	7.52	0.5697	0.0116

可以看到四种格式的误差较 $t = 0.2s$ 时均有增加；Lax-Wendroff 格式最大误差所在坐标已偏离正确的间断点 $x = 7.5$ 较远，说明其已不能较好的拟合间断；而其余三种格式最大误差所在坐标仍在正确的间断附近，但从图像上我们知道 Lax-Friedrichs 已不能较好地拟合间断。四种格式的最大误差值差不多，但从平均绝对误差来看 Godunov 和 Beam-Warming 两种格式要优于 Lax-Friedrichs 和 Lax-Wendroff。

4 实验结论

从数值实验结果可以看出，虽然在时间较小时 Lax-Wendroff 格式最优，但随着时间的累积，Godunov 和 Beam-Warming 两种格式仍保持较高的精度，且能很好地拟合精确解的间断处。而 Lax-Friedrichs 和 Lax-Wendroff 两种格式在时间较大时都不能很好的拟合间断，数值解结果并不令人满意。